

セルロース性生物質の水分がその燃焼速度に及ぼす影響

京都大学工学部 正員 岩井重久
日立造船(株)技術研究所 春山 鴻

1. はじめに

多量の都市ごみが種々の焼却炉によって処理されていきたいわゆる、焼却炉の設計においては有効な基礎資料が欠けていたのが現状である。実際の焼却炉に起きたトラブルの大半は、結局はこれらに基礎資料の不足、すなわちごみの燃焼特性に対する知識の欠陥によるものであろう。特に水分、あるいは燃焼条件へ変動に対する焼却量の変動に関する知識の不足は、各地の焼却炉のトラブルの原因にほかならない。このように理由で、これらの変動を定量的に予測し得るような資料を作成しないといつては望ましくない。しかしながら、現在のところ発表されている資料は、まだ限らかに条件ごとに特定の焼却炉の燃焼状況を示したものばかりで、それらは水份の変動による発熱量等の影響について述べてあるものは、二、三の研究例しか見られない。

ごみ焼却に関する多くの研究で、このように基礎的かつ一般的に論じられたのは少ないので、ごみの本質的、幾何学的、物理学的、化学的な性質を異にする多数の物体の集成物であり、焼却工学的に解析を進めることは不可能であると想われており、むしろ経験的知識を活用する方が實用的であると考えられており、また、現在までの焼却炉の設計は経験のみを基礎として進められており、経験範囲が限られており、前述のようにトラブルが頻繁に行われる。

われわれは過去数年にわたりてごみ焼却炉の研究を行なってきだが、ごみの乱雑さや複雑さを重視しておらず、すなわちごみの影響がすべて同一にして同一であると仮定しておらず、ごみの燃焼状況をかがり正確に予測できず、一定の関係式が作成できないという見解に達した。これは、同時代の生活、風習、社会、環境を同じくする人間集団によるごみの原料(入力)、生成過程(応答)、レジリエンス(ごみ自体(余剰出力))には、同一性が当然保持されることにようと思われる。もちろん既往の設計に由りて、ごみの性質の乱雑さは重視され、すなわち水分と可燃分との量のみに注意が払われておらず、従来の経験範囲を越えてよりは諸条件に対する工記の関係式の適用は、今後の焼却炉の設計、運転の合理化に役立ててもらいたいと考える。

本研究の目的は、ごみの中の物体の幾何学的形状の差異ごとの程度ごみの燃焼に影響を与えるかを調べることである、同一水分、同一可燃分のごみを同一条件で燃焼させ、そのときの焼却量等の変動を求める、次に水分や燃焼条件を変化させて焼却量等の変動を求める、さらに水分等の変動のみを基にして燃焼に関する式を作り、この式で生じる誤差を一定条件の場合の燃焼の変動から推定しようとすることである。

これらに研究によつて、水分は種々のセルロース性生物質の燃焼速度に対して同一関数形をもつて影響する二つの異なる式があり、これら水分の燃焼量に対する影響について研究を進めし。本文の一部はすこし説明してある。

2. 都市ごみ中の火移り速度

二つめの炉の中での着火位置と、着火面が下方へ進行を始めると、着火面の進行速度は火移り速度と呼ぶ。一般に二つめ層中の着火面は、複雑かつ不規則な形状をもつ。しかし、この問題を簡単にするため、着火面の平均位置について、仮想着火面(平面)を図-1に示すように考へる。着火面の下の位置で水蒸気蒸発し、可燃分は分解する。その結果、水蒸気と揮発可燃分とは、上方空間へ出で、残余の可燃分は二つめ層内で固体燃焼を行なう。

二つめ層の厚さをLのとき、
単位火床あたりの单位時間内の焼却量(焼却率)
 C は、

$$C = \frac{L \cdot r_v}{x_v + x_c} \quad (\text{kg/m}^2 \cdot \text{hr}) \quad (1)$$

ここで、 r_v が火移り速度、 x_v ：着火面が
グレート面に達するのに必要な時間、 x_c ：着
火面がグレート面に達して後、残りの可燃分を
燃やすのに必要な時間、 L ：表わすこととする。

明らかに x_v は火移り速度で定め
られる。以後、火移り速度を v と
平均着火面の進行速度を v' と表
わすこととする。

$$x_v = L/v \quad (2)$$

ここで、 V ：火移り速度、
であり、二つめ層の燃
余可燃分が、残り未燃分の重量率
を原可燃分の20%程度にしておき
る場合、火移り速度が
焼却率を支配する主な因子となる。
以上のように理由から、まず火移り
速度について述べる。

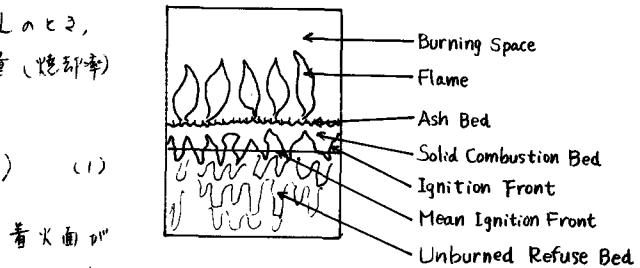


Fig. 1. Scheme of Burning Refuse Bed

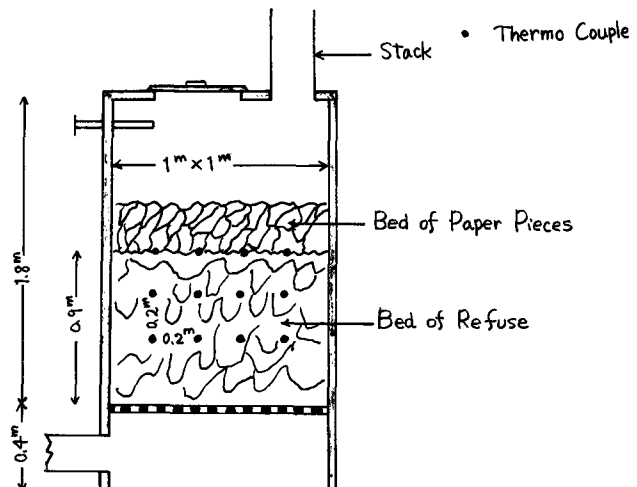


Fig. 2. Experimental Furnace

火移り速度に関する実験とその結
果についてのまとめ。

A. 実験に使用した炉を図-2に示す。二つの炉への送風は送風機で行なう。送風量は0.1ト-管
を用いて計測し、二つめ層中には、三側の平面工、先端が炉の中面に達するよう、合計12個の熱電対を挿入した。最高位置の熱電対は二つめ層の工面に置き、20cmの間隔で並べた。その下面と最
下面との熱電対も、百べて同様に配置した。

二つめ層、別々の分析用試料を採取した後、二つの炉に入り、その上面に乾燥した紙片を約10cmの

厚さ ν のガラスで着火し、同時に送風を開始する。その後、熱電対による温度の変化を記録する。その記録より、次式¹を用いて火移り速度を求める。

$$V_c = \frac{0.2 / (\sum t_{2,i} - \sum t_{1,i}) + 0.2 / (\sum t_{3,i} - \sum t_{2,i})}{8} \quad (m/s) \quad (3)$$

ここで、 $t_{1,i}$ は温度が 450°C に達した時間、 $t_{2,i}$ 、 $t_{3,i}$ は、 $j=1$ は最上部の熱電対を表わす横方向の番号を表す。

二つめの測定の結果を表-1に示す。

表-1から、水分が少なくて、送風量が少くても、燃焼率がまる程度まで減少する場合には、揮発可燃分は完全燃焼をしないことがある。これは、揮発成分量は火移り速度によらず一定であるが、その量が実際の送風量に見合ひようほ量を工夫すれば存在する結果から生じると思われる。

このような場合には、揮発可燃分は未燃と排出されにくく炉内温度は低い。送風量を増すと同時に火移り速度も増えざる、火移り速度は送風量の増加に対して正比例せず、(送風量) α 、 α で $(0 < \alpha < 1)$ の形で比例する²。徐々に未燃分が少くなり、炉温も上昇する(表-1参照)。さらに送風量を増加させると、送風量の増加が冷却効果を持つようになり、火移り速度も低下して炎が消え。

この実験のように、着火面の進行方向がガスの流れと反対の場合³は、25%以上水を含む⁴みを実用的では早々燃焼させることは困難であるが、手火⁵のよし、着火面の進行がガスの流れの方向と同じ場合には、水分が5%程度のときは燃やすことできる。なお、(比重×火移り速度)を質量火移り速度と定め、それについての実験結果を図-3に示す。一般に機械炉の場合には、ガス流れて着火面の進行方向が反対であるために、適当な方法で(前述の実験装置以外の方法)み層の熱を供給する工夫が必要となる。

B. 図-4に示すように実験炉の火移り速度を平均化。グレートの進行速度を炎の後方の孔から観察しながら、丁度着火面がグレート終端でグレート面上に達するようにグレートの進行速度を調節しながら運転した。

ごく試料をよく混ぜ、分析用試料が採取されて後に燃焼中の炉に投入し、計測計画に合わせて送風量を調節し、炉室内温度はバーナの重油量によって設定する。ごく層の厚さは、0.3 m と 0.6 m とにするように調節した。

火移り速度は次式によって求められた。

$$V_c = \frac{0.3 \text{ or } 0.6}{(\text{图-4の炉の長さ}) / (\text{グレート進行速度})} \quad m/s \quad (4)$$

送風量 (N ³ /m ² ·hr)	含水率(湿基) (%)	比重 (t/m ³)	火移り速度 (m/hr)	温度 (°C)	
				可燃分 水分	水
604	8.4	66.4	0.092	9.16	340
	12.3	60.0	0.124	5.40	960
	20.2	54.1	0.148	4.03	620
	25.8	51.9	0.178	15.7	370
818	8.2	66.3	0.094	10.90	410
	12.0	61.0	0.120	7.20	980
	20.0	54.2	0.145	4.32	660
	25.2	51.4	0.178	2.02	160
1020	8.2	66.4	0.094	12.40	960
	12.1	60.4	0.122	8.93	940
	20.3	53.8	0.146	5.73	540
	25.4	50.8	0.174	1.06	120

表-1 実験結果-1

実験結果を表一²に示す。

この形式の火葬りは、工場ガスの熱の供給と自己の持つ熱量によりて行なわれることなく、火葬り面が下方に逆さにしておらず、工場の床層の抵抗など熱へ供給が少なくてなり、火葬り速度は減少する。

C. 図-5 のようは實際炉を用いて火葬り速度を半減¹⁰。ケレン¹¹がみを炉に投入するとき、一部ヘニミセ分析用試料とくず採取して、移動ストーカー、ストーカーの一一定位置で火炎の大きさより速度を調節しながら運転して、すばら火炎が小さくなるときは、火葬り面がストーカー到達してから¹²から(図-6)、火葬り速度は次式によつて半減する。

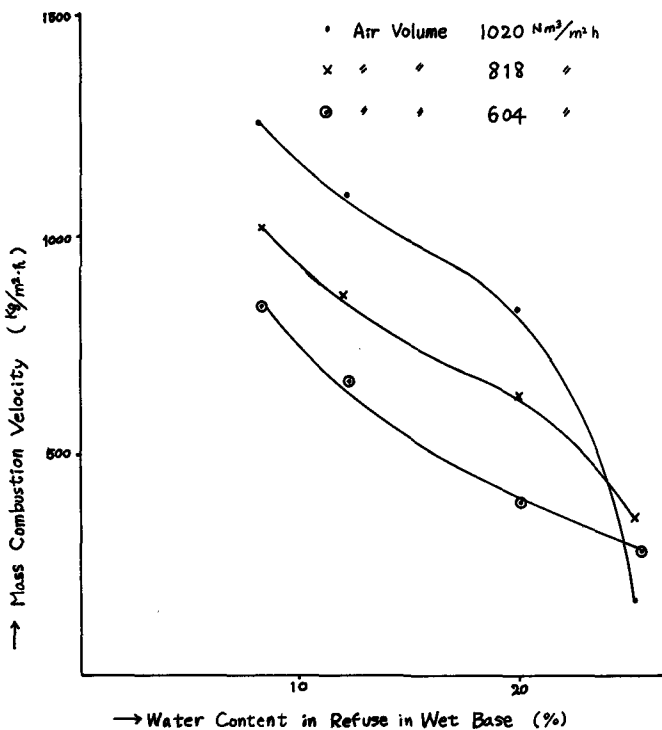
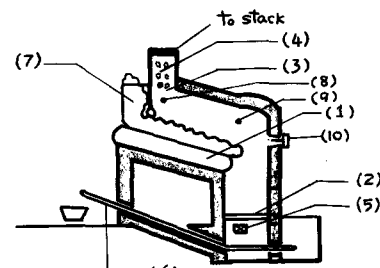


Fig. 3. Mass Combustion Velocity : Water Content

表一² 実験結果-2

ごみ層の 厚さ (m)	含水率(湿基) (%)		比重	火葬り 速度 (m/hr)	炉温 (°C)	ごみ層エバ ガス流速 (Nm³/m²·h)
	可燃分	水分				
0.3	49.8	31.2	0.252	1.62		
	42.0	41.4	0.294	0.772		
	35.7	50.9	0.331	0.282		
	30.4	58.0	0.371	0.192	450	2.5
	24.6	67.3	0.402	0.128		
	22.0	70.8	0.411	0.086		
0.6	49.8	31.2	0.252	0.332		
	42.0	41.4	0.294	0.187		
	35.7	50.9	0.331	0.072		
	30.4	58.0	0.371	0.059	450	2.5
	24.6	67.3	0.402	0.032		
	22.0	70.8	0.411	0.025		
0.3	36.8	50.6	0.321	0.524	960	
	37.0	50.8	0.327	0.326	660	
	36.8	50.4	0.314	0.280	450	2.5
	36.8	50.6	0.321	0.280		
0.3	37.0	50.8	0.327	0.242	450	1.15
	36.8	50.4	0.314	0.122		
	36.8	50.6	0.321			0.21



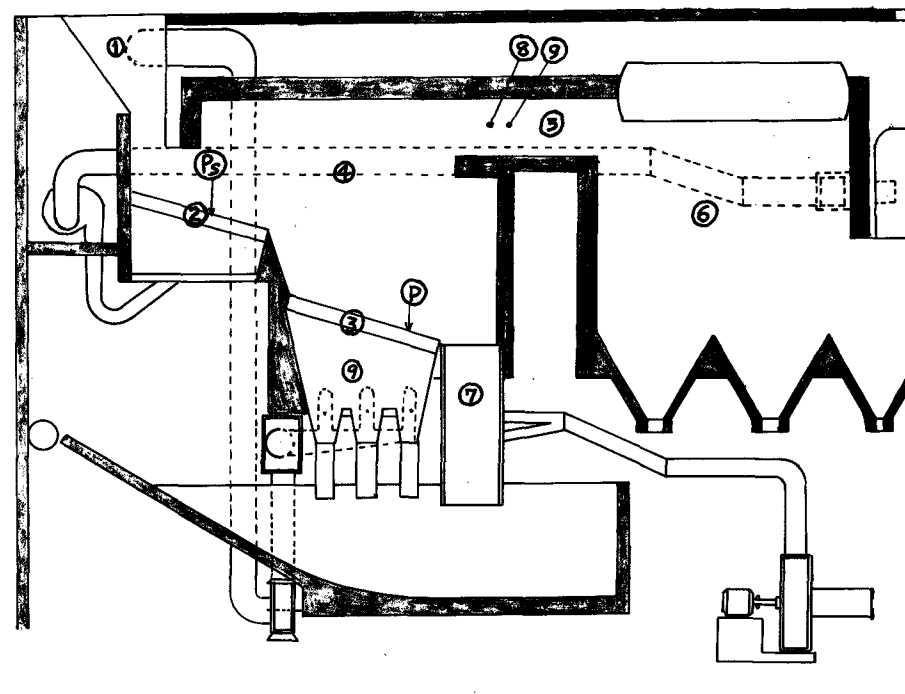
(1) the travelling grate for drying $2.4 \times 1.1 \text{ m}^2$
 (2) the fixed grate for stoking $0.9 \times 1.1 \text{ m}^2$
 (3) the stack
 (4) the heat exchanger; gas to water
 (5) the air duct
 (6) the ash conveyer
 (7) the feeding hopper
 (8) the thermo couple
 (9) the thermo couple
 (10) the oil burner

Fig. 4 Outline of the test incinerator.

$$V_c = \frac{W_R}{\bar{t}_v L_s B} \quad (5)$$

V_c : 燃焼量, W_R : 1時間の燃焼量, L_s : 灰-6のpcとpcの長さ, B : ストーカの巾。
得られた結果を表-3に示す。

表-3の系列-3のデータは、大体等しい α と β と同一の条件で燃焼されたときに火通り速度は、比較的一致し、 $(1.49 \sim 1.64) = 1.56 (1 \pm 0.07)$ m/hrの値をとることを示してゐる。これらから表-2のデータは、約 120 m^3 の α を4時間で燃焼して計測した結果得られたものであるが、これらは、 α 中の各物体の燃焼的性質、すなわち空隙率、平均粒径、接触面積等が、 α 集



- | | |
|-----------------------------|---------------------------------|
| ① Feeding hopper | (P) Front of Furnace |
| ② Reciprocating Stoker No.1 | |
| ③ Reciprocating Stoker No.2 | ⑧ Line on which the ignition |
| ④ Combustion Chamber | front reached the grate surface |
| ⑤ Gas Duct | during this determination |
| ⑥ Boiler | |
| ⑦ Gasification Box. | ⑨ Thermocouple |

Fig. 5 Outline of the Incinerator

場が大きくなるほど、平均化され、二つの各値が一つの常数的な値に近づくものであるといふことを示してゐる。

二つに反して、表-4 の系列 2-4 の未結果は、二つとも、燃焼条件が変わった場合、火移り速度に大きい変化があり、二つとも示してゐる。

図-7 は、水冷の変動に対する火移り速度の変化を示したものである。

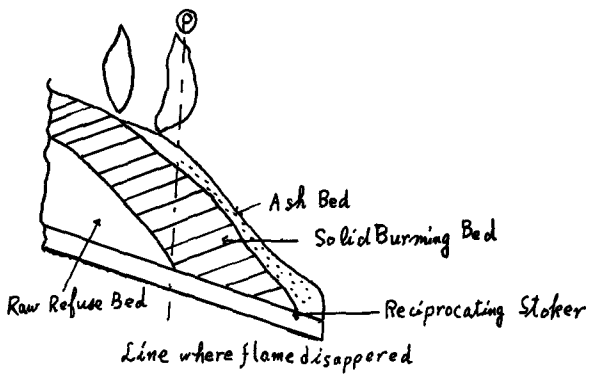
水冷燃焼条件、二つ負担一定の場合の燃焼量の運動を、 $M(t)$ とし時間 t の関数で表わせば場合、ある時間内の真の燃焼量と零動を差ししてその平均値 M から算出する燃焼量との比は、

$$\int_{t_0}^{t_d} M(t) dt / M(t_d - t_0) = R \quad (6)$$

式(6)の右辺は、 M の標準偏差は $(t_d - t_0)$ の 1/2乗に逆比例すると言えらる。したがって、 $(t_d - t_0)$ の 1/2乗は 24 時間を約 48 時間にむかうからかなり大きい場合に R は 1 に近づき、燃焼量は M と $(t_d - t_0)$ の積で表わしてもよい。ゆえに式(1), (2)から、火移り速度は、燃焼条件と水冷の運動ととに着目して研究すればよいかと思われる。すなはち、次章で述べるようびモデル実験が可能であることを意味している。

3. 試料と用ひ火移り速度の測定モデル実験

前章では二つ集塊を用いて火移り速度を求めており、表-1, 2, 3 からわかるように、実験条件を同一にして研究を行なうことは非常に困難である。表-3 の T-9 等は、約 3 年間わたる 300



Jig 6, Scheme at Point P

表-3 実験結果一

実験 番号	含有率(湿基) (%)	比重 (t/m³)	火移り 速度 (m/hr)	ガス化で通過する量の 流量と(温度) N.m³/m².hr (°C)		X 温 (°C)
				1/6-1 No.1	1/6-1 No.2	
1	36.1	45.6	0.311	1.64		1010
	35.6	47.2	0.318	1.60		960
	30.4	44.7	0.303	1.59		980
	34.8	44.8	0.306	1.64		1020
	30.1	44.9	0.312	1.51	1710(1840)	990
	34.6	45.6	0.323	1.49	390(150)(222~225)	950
	35.2	46.2	0.314	1.60		980
	34.8	47.0	0.308	1.56		990
	30.4	45.4	0.304	1.58		970
	35.2	46.2	0.314	1.61		960
2	34.7	47.1	0.306	1.54		1010
	35.2	45.6	0.314	1.56		1030
	30.0	46.1	0.316	1.56		
	35.2	45.8	0.313	1.48	1720(221)	990
3	36.0	45.3	0.307	1.32	1430(220)	960
	36.6	46.3	0.305	1.970	1240(220)	940
	37.1	44.8	0.314	0.850	890(220)	900
	36.2	47.1	0.306	1.12	1730(129)	950
4	36.5	46.3	0.314	0.930	1440(126)	960
	35.1	45.2	0.311	0.883	1220(126)	890
	34.3	46.6	0.301	0.735	820(126)	940
	34.1	45.5	0.302	0.980	1760(35)	960
5	36.2	44.3	0.303	0.991	1380(38)	940
	35.5	45.4	0.309	0.743	1240(30)	950
	37.1	44.3	0.309	0.641	820(36)	920
	34.2	45.8	0.312	0.942		900
	36.0	45.3	0.305	0.951		880
	37.1	44.8	0.304	0.933	1420~1460	840
	36.1	45.5	0.304	0.891	0	820
6	34.9	44.2	0.314	0.830	(118~128)	720
	34.6	45.8	0.311	0.571		680
	37.2	44.9	0.308	0.555		610
	37.0	49.1	0.331	0.854	1440(220)	840
	38.8	49.1	0.332	0.935	1440(220)	890
	24.1	54.6	0.342	0.745	930(221)	720
	23.3	54.5	0.362	0.501	940(190)	610
	22.9	60.2	0.374	0.520	1060(229)	570
	21.3	64.1	0.388	0.422	680(209)	600
	19.2	67.1	0.374	0.284	720(199)	450
	18.5	71.6	0.413	0.236	580(182)	330

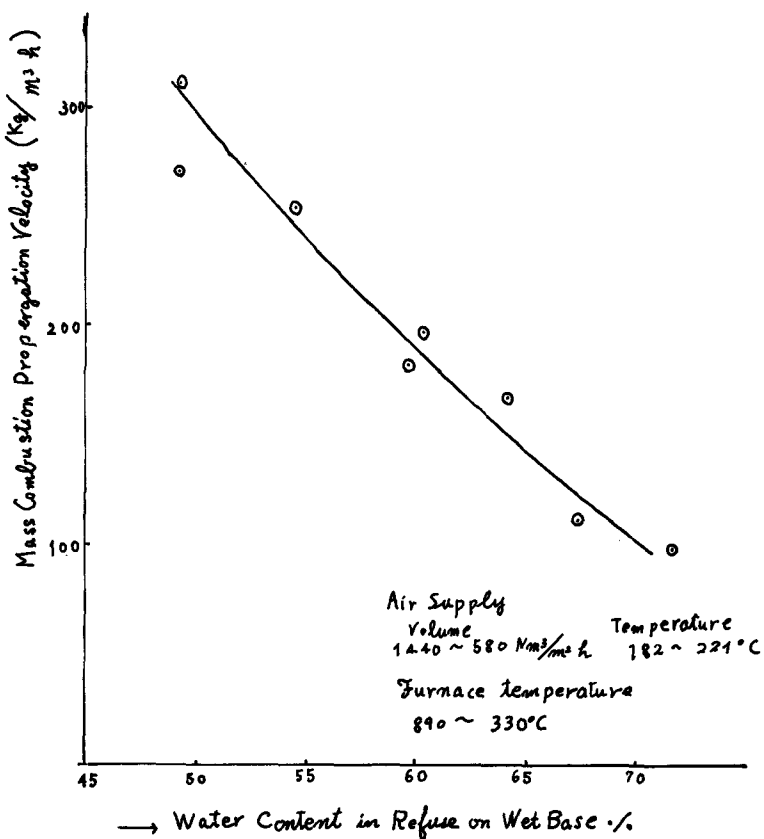


Fig. 7 Mass Combustion Velocity: Water Content

図セ二元多項式から、表のよう配列可能なたびにこれを選んで“ホレシキアズアリ”，これからテーブルモードでこれを実験式を作成するニセコを困難である。したがつて、ニセコは燃焼条件の同一性等の場合は、火移り速度、レノルギーと燃却率が同一でありますといふ事実と、ニセコは、燃焼条件より形状等が異なる場合とでは、火移り速度が非常に異なるといふ事実とが判明した。これは、ニセコは、ニセコと化学的性質が類似するよりは物質を用ひ、同一形状に整形してレノルギーと物体の集塊、ニセコは同一形状で同一寸法の紙片を、水分と燃焼条件を変えて燃焼実験を行つて、ニセコの燃焼特性がわからずといふことを意味している。したがつて、アラモデルを用いて火移り速度 V_M を求めた結果は次式で表われられる。

$$V_M = f_m \{ \{ w, c, \rho_w \} \cup z \} \cdot g_m (A, M) \quad (7)$$

ニセコ、w: 水分、c: 可燃分、 ρ_w : 水分wの比重、z: 燃焼条件を表す諸因子、
ニセコは燃却率、炉内温度、予熱空気温度、天井孔の射能等、の集合、 \cup 集合の和を表す記号、 $g_m (A, M)$ 物体の寸法と、それらのつま方とニセコの因子のつま関数、Aはモード

ル物体の形状、 M は集塊の幾何学的特性。

式(7)のより $f_M(A, M)$ の分離していふ場合は、 $f_M(\cdot)$ は形態等、すなわち幾何学的性状とは関係のない関数であるから、二つの物性がモデルの物性と同一であるれば、 $f_M(\cdot)$ は二つとも $f(\cdot)$ と同一であるはずである。前章の実験の結果により、都市二つの場合の $g(\{A_R\} \cup M)$ は、すべての二つの集塊について同一であるとすれば、実験によって求めた $f_M(\cdot)$ を用いて、二つの火移り速度 V は、

$$V = f_M[\{w, c, \rho_w\} \cup z] \cdot K \quad (8)$$

と書かれることよいことである。ただしの場合の K は、前章等を用いて求めたものである。

さて、さらにこうしたモデル化を進めることにより、單一紙片を用いたモデルを作って実験してみる程度は精確な解析ができるとすれば、非常に好都合である。すなわち、モレ式(7)中の $f_M(\cdot)$ 内中の項が $f_1(w, c, \rho_w)$ と $f_2(z)$ とに分離でき、しかも連続体と非連続体との間に定数項だけの差しかばれるとすれば、單一紙片を用いた実験から、水分の影響を求めることができる。

本章では、まず予備実験として紙片の集合体と單一紙片との間で、水分を変えたときに火移り速度が変わらかを調べ、これからは間に一定の関係が成立するこことを確かめながら、さらに單一紙片を用いて水分の影響を詳細に調べる。このようにモデル化を進めると、結局紙片等の火移り速度に対する水分の影響がわかり、さらに一般都市二つのそれを解説できることになる。

セルロースの燃焼についての研究は、防火關係などかなり以前から行なわれており、多数の文献^{1)~3)}がある。そのうちでも單一紙片の燃焼に関するには、最近では金原等¹⁾が研究を行なっており、彼らはわれわれの單一紙片の水分の影響については論じていないが、しかしもくろみ²⁾が燃焼の問題を取り扱っており、行なっている。また水分の影響に関するには、L. Pon³⁾等、H.E.Amderson³⁾等および L.A.Albini³⁾が本の組合せを用いて研究しているが、彼等の興味の対象は主として燃焼物の幾何学的形状であり、との結果を二つの焼却の場合に直接利用することはやや困難であるが、比較の対象としては興味ある結果を得ている。

3. 1 予備実験

A. ホルダに取りつけた紙片の上端にハリロットバー⁴⁾を着火し、着火面と寸法線の間を通す時間⁵⁾を測定する。水分は、着火の直前と寸法線を通り可⁶⁾以直後とにおいて測定する。すなわち、後者の場合には、うちわを用い、水分の変化が止むるまで火を吹き消しながら、同時に重量を測定し、さらにこれを 95°C の空気⁷⁾で十分乾燥させて重量を測り、それによつて水分を求める。紙片の水分は外気の湿分⁸⁾ばかり早い速度で変化する⁹⁾ので、実験条件下的空気中で水分の増加速度と減少速度とを測り、それを基にして单なる水分の修正を行なう。

B. 一つの紙片の上端を直角に曲げてその下方をホルダに取りつけ、他の紙片の下端を直角、すなは半径 5 mm の円状に曲げて、これを紙片の直角面にのせ、A と同様にして火移り速度を測定する。

C. 直径 5 cm 、高さ 30 cm の石英ガラス製円筒内、紙片を同一寸法 ($2 \times 1 \times 0.063\text{ cm}^3$) にて入れる。さらにシリカゲル充てん層を通して空気、すなは水を入れた箱の水面¹⁰⁾と遭遇させし

空気を、約1時間工記の内筒内を通じて紙片の水分を平衡にさせ以後、その上方に着火し、内筒工の寸法線を火面が通る時刻を測って火移り速度を算出する。また水分は着火直前より工部から紙片の試料を採取して測定する。以上3種の実験結果から、水分(乾基)5%の場合の火移り速度を1とし、各水分に対する火移り速度の比を算出し、これらを図示したものが図-8である。

図-8には、W. L. Fons等⁽¹⁷⁾、およびH. F. Anderson等⁽¹⁸⁾の実験結果と、高月が燃焼筒に紙片で作成した小球を入れて、同様に火移り速度を算出した実験結果とを、整理したのを参考まで示しておいた。また図-2に示す燃却炉よりさらに小さい炉($0.75 \times 0.5 \times 1 \text{ m}^3$)において、 100°C の空気で数十分かけて乾燥させて試料用の粉を用いて、同様に火移り速度を測定した結果を、やはり図-8中に示しておく。

図-8からもわかるように、すべてのデータが同一線上に非常によく乗っている。これから判断すると、紙片のみならず、木片、さらにはほとんどのセルロース性物質は、水分の変化に対して図示の曲線とアプロガスな直線関係を持つものと推定される。石炭等⁽²⁰⁾は、水分が5%よりも揮発分の多い火移り速度が定められる。

これらの結果から、二段焼却炉の火床面積の決定に最大熱負荷法の水を用いるのは誤りであるといふことが推察できたり。ここに最大熱負荷法とは、単位火床面あたり $M \text{ Kcal}/\text{m}^2 \cdot \text{hr}$ とし、 E 最大の発熱負荷を定め、 $1 \text{ Kg} \text{ 燃料}/\text{hr}$ $E \text{ Kcal}/\text{Kg}$ の発熱量を持つ燃料に対する、最大の $E \cdot C = M$ をみつける、すなわち最大焼却率 $C \text{ Kg}/\text{m}^2 \cdot \text{hr}$ とする燃やし方を設計する方法である。石炭燃焼炉の設計に慣用されている。二段焼却炉では、この方法で設計が行われる例は少な

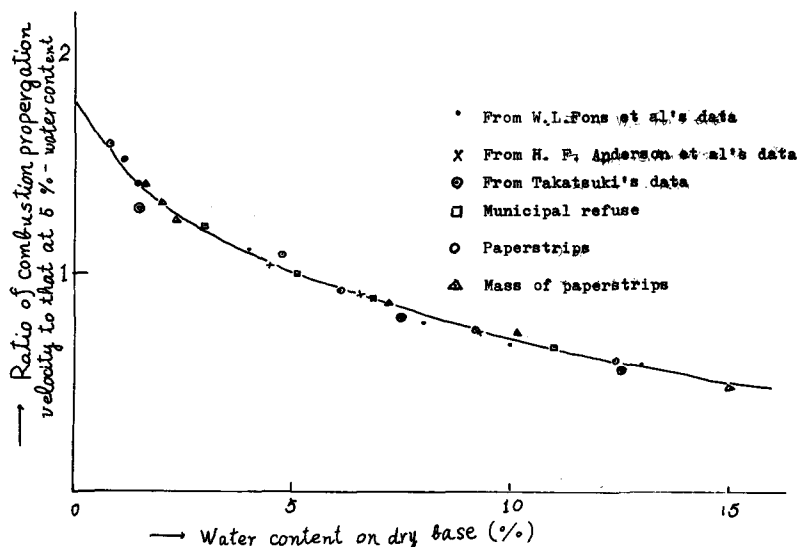


Figure 8 Variation of propagation velocity
versus variation of water content

3.2 単一紙片を用いた火移り速度に関する実験-Aと実験-B

(a) 紙片を作成する(紙を可く)と共に、直径 0.1 mm のアルメルクロメル熱電対を埋込んである、その熱電対からの配線を増幅器を通してオッショグラフにつなぎ、燃焼の進行中に起る紙片中の温度変化を自動記録させて。紙片の火移り速度は、寸法線間を通して測定する。シヤッタ速度が影響してそのコマ数と横に並んでストップウォッチと測定する。図-9参照)。

水分の変化に対する火移り速度の変化を図-10に示す。なお、図-10中のHold(A)とは単一紙片を用いた実験-Aの場合の保持法であり、Hold(B)、Hold(C)とは、前節で述べた実験-Bにおける、下方の紙片の直角に曲げた正面の上に、小さな他の紙片の下端を直角に曲げた紙片を乗せた場合と、下方を直径 5 mm の円周状として曲げたものを乗せた場合との保持法である。

手元での実験によって得られた紙片内の温度分布は図-11a およびbである。手元での図には、後節で述べた紙片の熱分解実験結果を参照して、重量の分布を示しておいた。図-10で、Holding(B)の場合と(A)の場合よりも火移り速度が大きくなるのは、二つの紙片の直角接觸面の間に空気層の抵抗が、下方の紙片への熱伝導が増すためである。またHolding(C)の場合に同様の現象が起るのと、円筒状折りたて面から直接下方へ射伝熱を行ない、飛火するのである。しかしHolding(A)、(B)、(C)のいずれの場合も、水分の変化に対する同一形の火移り速度の変化であると言えよう。これらはまた前節で述べた結果と一緒にいふべきである。

手元前節で述べたように、集塊(実験-C、不連続体)の場合も、火移り速度が水分に関する同一の定まるといふことは、この実験のHolding(A)、(B)、(C)の場合を比較しても明らかになる。集塊の中の個々の物体の接觸面では火移り速度が変化する、集塊内部で着火面が通る時間が長いために、単一紙片の場合と同一実験形にするもへと見える。

手元、図-11からわかるように、燃え切った位置での温度は紙片内の最高温度に達し、その時の温度勾配は $0.2^{\circ}\text{C}/\text{mm}$ あり、炎中央での温度が下って、やがて炎の最高温度に達する。手元、温度勾配は $0.1^{\circ}\text{C}/\text{mm}$ と $0.2^{\circ}\text{C}/\text{mm}$ の微分可能と言えるよろしくある。

(b) 紙片を粉状にして水分を含ませ、空気中で示差熱の変化と重量の変化とを併せて。このときの標準試料は酸化アルミニウムである。この結果を図-12に示す。

図-12から、水分の減少は約 70°C 程度から始まり、 $E_0 = 100^{\circ}\text{C}$ あたりで急速に水分が失われる

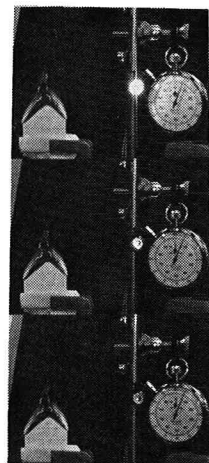


Fig. 9 Picture of signal lamp indication ignition front passing by a certain point

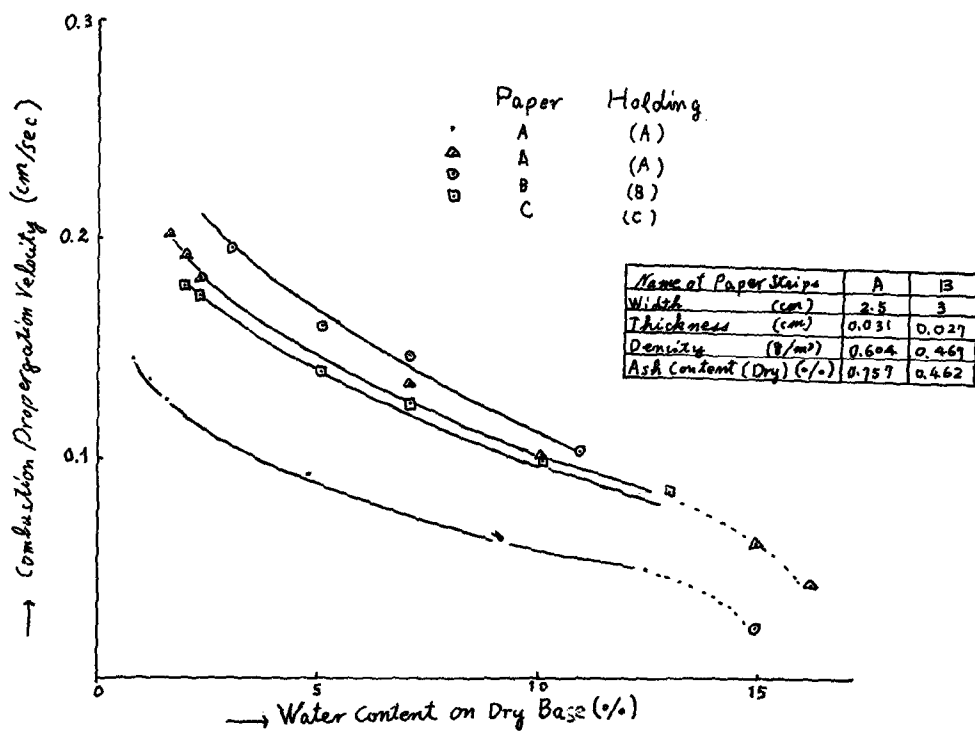


Fig. 10 Combustion Propagation Velocities of Paper Strips

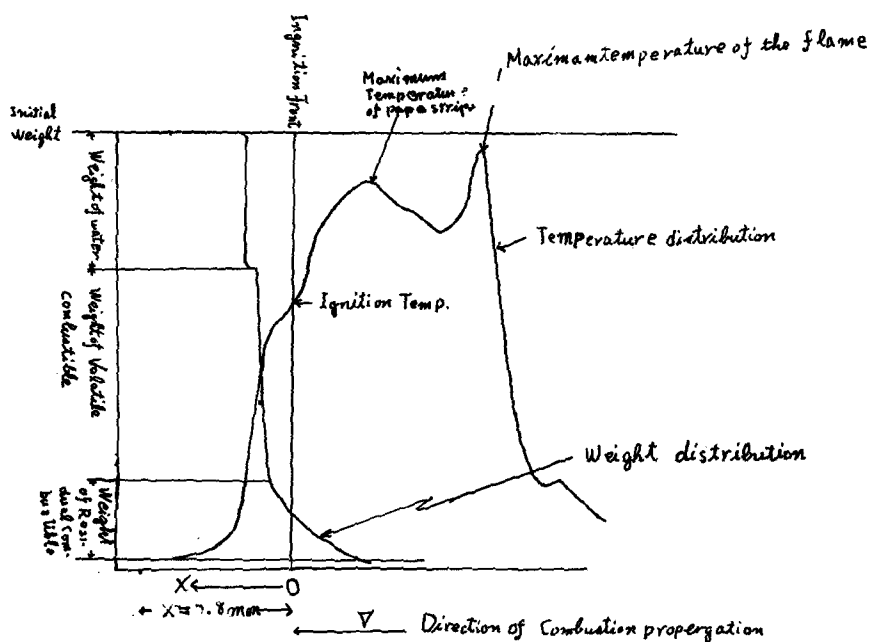


Fig. 11 Histories of Temperature Rise and Weight Reduction

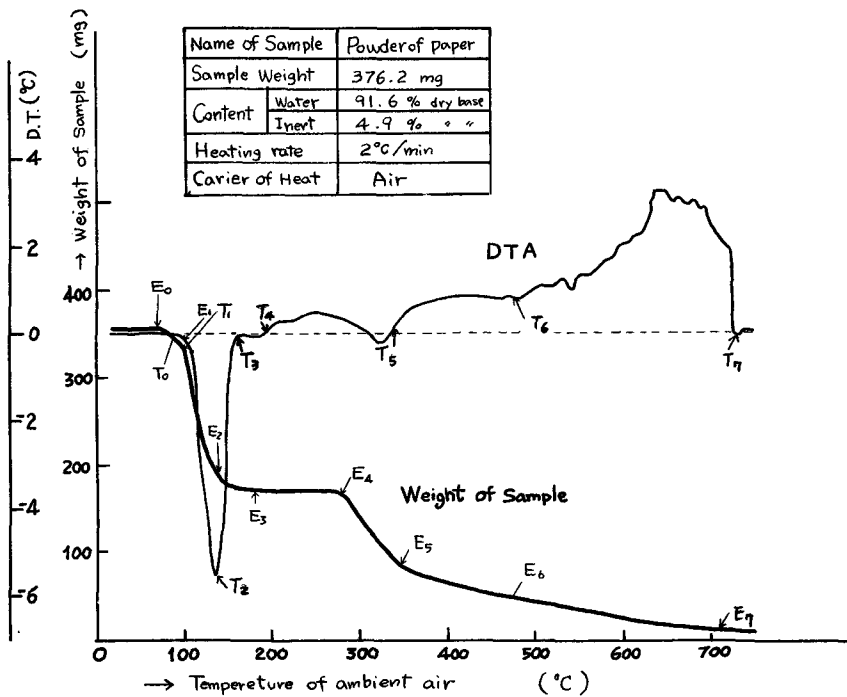


Fig. 12 TGA & DTA of Wet Sample

(E₁), まじめの前後から吸熱反応が起こり、示差熱が負の方向に大きくなり (T₁), 140°C 程度で水分のほとんどが蒸発し (E₂, T₃), 160°C 程度で水分は全くなくなり (T₃), わずかばかりから可燃成分の熱分解が始まる (E₃)。まじめの間はわずかの吸熱反応を示す (T₅~T₄), 次に放熱反応を示す。280°C (E₄) で熱分解は急速となり, わずかの吸熱 (T₅) を示して放熱反応へと変わる。475°C 程度で残存可燃分 (char) の燃焼が始まる (E₆, T₆), その後燃焼が終了する (E₇, T₇)。

ニケレヒ熱分解の傾向は, S. Martin 等が半導体のときばかり異なり, ときにはびくびく吸熱反応は見られない, 紙片の熱分解は約 500 cal/g で遅い放熱をともなうものとの結果になつてゐる。これは, 热分解中に初めて可燃性燃焼が始まることを意味し, T₄E₃ を紙の spontaneous ignition 温度と考えれば, 約 190°C であり, 従来のデータとよく一致するといふことである。また, TE₆ は 470°C であり, 金原等の得た着火温度 460°C とよく一致している。

2.3 紙片モデルの火移り速度(燃焼速度)の解析

実際の着火面の形状(1), 前節の図-9を見らるほどあり“ある”, 問題を簡単にするため, 着火

面を水平面と考えて考察を進める。

この前節の実験の Holding (B) の場合から判断すれば、接觸面の抵抗ばかりあるといふことは、着火面が垂直に移動する場合に、着火面からの熱伝導が延焼に対する支配的であると考えてよいといふこと。

このように、熱源が移動する問題であるから、熱伝導方程式、

$$\left(\frac{\partial T}{\partial x} \right) = d \left(\frac{\partial^2 T}{\partial x^2} \right) \quad (9)$$

は熱源とともに移動する。

座標系を考えて、

$$x = X - Vt \quad (10)$$

$x = Vt$, t : 時間, V : 火移り速度,

を導入すると、速度が一定のときは、温度分布は時間に独立して定常過程と考えてよい。すなわち、 $(\partial T / \partial t) = 0$ から、式 (9) は次のようく簡単な常微分方程式となる。すなわち、

$$d \left(\frac{d^2 T}{d x^2} \right) + V \left(\frac{dT}{dx} \right) = 0 \quad (11)$$

さらに、紙片を二つの領域にわけて、一方を予熱域、他方を反応域と呼びたいとする。

予熱域においては、二つの相の変化が見られる、單に温度のみが上昇していくと仮定し、予熱及反応域においては、水分の蒸発、可燃成分の分解および燃焼が同時に起こっているものとする。二つに仮定の妥当性は前節の図-11に示されたいろいろ重量分布の推定線から見ると矛盾はないが、一方温度分布線から見ると、着火端まで逆さでは反応熱の影響がより出でるより証拠はない。

このとき、燃焼の進行中には、着火面近くの「小小正角の紙片」、短かい時間で急激に加熱されたかの流れの延焼を行ひながら打れて、未燃熱による分解は、1 分間に 2°C という温度上昇を行なうとして、水分の蒸発反応、可燃成分の熱分解および残存可燃成分の燃焼反応が並行して同時に起こり、また水分の蒸発反応が起こり、水分の蒸発と可燃成分の分解とは同時に起こり、また水分の蒸発反応が起こりと考えてよい。ただし、反応域では「すべ」の反応が同時に起こることを假定してよいと考えられる。

さて、外気への放散熱が小さいときは、予熱域の熱伝導の方程式は、移動座標系に関して、

$$\frac{d^2 T}{dx^2} + \left(\frac{\rho_w \gamma_w}{\lambda_w} \right) V \frac{dT}{dx} = 0 \quad (12)$$

γ_w , ρ_w , λ_w および w 等は、それぞれ水分 w (乾基) のときの比熱、比重、熱伝導率、等とされる。

また反応域では、熱伝導方程式は、潜熱と吸熱との両反応が温度に比例して起こるとして、

$$\frac{d^2 T}{dx^2} + \left(\frac{\rho_w \gamma_w}{\lambda_w} \right) V \frac{dT}{dx} + \frac{k_s H(T - T_c) A}{(T_{11} - T_c) \lambda_w S} = 0 \quad (13)$$

ニニル、 k_s ：反応熱のうち燃焼面に残る熱の割合、 H ：単位面積、単位時間あたりの燃焼面の発熱量、 T_c ：着火面の温度、 T_M ：着火の終了面の温度、 $A/S = z(a+b)/ab$ 、 a は紙片の幅、 b は厚さ、と書わざる。

式(12)に対する境界条件は、着火面を原点として、

$$\left. \begin{array}{l} T = T_0, \quad \text{at } x = \infty \\ T = T_c, \quad \text{at } x = 0 \end{array} \right\} \quad (14)$$

ニニル、 T_0 は紙片の初期温度である。ニの初期条件により、式(12)の解は、

$$T - T_0 = (T_c - T_0) \exp\left(-\frac{\rho_w \delta_w}{\lambda_w} Vx\right) \quad (15)$$

一方、式(13)に対する境界条件は、 T_c で温度曲線が微分可能だから、

$$\left. \begin{array}{l} \left(\frac{dT}{dx}\right)_{x=+\infty} = \left(\frac{dT}{dx}\right)_{x=0} \\ T = T_c, \quad \text{at } x = 0 \end{array} \right\} \quad (16)$$

である。又反応部の終了面では、温度分布曲線が水平にならざりから、次式が導かれる。

$$\left. \begin{array}{l} \left(\frac{dT}{dx}\right)_{x=x_M} = 0 \\ T = T_M, \quad \text{at } x = x_M \end{array} \right\} \quad (17)$$

式(13)の一般解は、

$$T - T_c = D_1 \exp[-(d + \beta)x] + D_2 \exp[(d - \beta)x] \quad (18)$$

$$ニニル、d = \sqrt{\left(\frac{\rho_w \delta_w}{2 \lambda_w}\right)^2 - \frac{k_s H A}{(T_M - T_c) \lambda_w S}}$$

$$\beta = \frac{\rho_w \delta_w}{2 \lambda_w} V$$

ニニル、 D_1 、 D_2 積分定数である。ニニル、境界条件式(16)から

$$\left. \begin{array}{l} -(T_c - T_0) / \beta = -(d + \beta) D_1 + (d - \beta) D_2 \\ 0 = D_1 + D_2 \end{array} \right\} \quad (19)$$

とより、式(13)の解は、

$$T - T_c = (T_c - T_0) \frac{\beta}{d} \left[\exp\{-(d + \beta)x\} - \exp\{(d - \beta)x\} \right] \quad (20)$$

となる。ニニル、ニニル、境界条件式(17)を用いたとき、

$$0 = \frac{\beta}{d} \left[-(d + \beta) \exp\{-(d + \beta)x_M\} - (d - \beta) \exp\{(d - \beta)x_M\} \right] \quad (21)$$

$$T_M - T_c = (T_c - T_0) \frac{\beta}{d} \left[\exp\{-(d + \beta)x_M\} - \exp\{(d - \beta)x_M\} \right] \quad (22)$$

$\bar{z} = z''$, このうちの両式 ν が \bar{z} と X_M を微少とすると, (21) 式から, $X_M = \frac{1}{2\beta}$ 。ここで (22) 式 ν に入り,

$$\left(\frac{\rho_w \bar{\tau}_w}{2 \lambda_w} \nu \right)^2 = \frac{k_s H A}{(\bar{T}_M - T_c) \lambda_w S} \left(\theta + \frac{1}{\theta} \right) \quad (23)$$

$\bar{z} = \nu$, $\theta = \frac{\bar{T}_M - T_c}{T_c - T_0}$ 。式 (23) を整理すると,

$$V = \sqrt{\frac{4 \lambda_w k_s H A}{\rho_w^2 \bar{\tau}_w^2 (T_c - T_0) S} \left[1 + \frac{(T_c - T_0)^2}{(\bar{T}_M - T_c)^2} \right]} \quad (24)$$

を得る。実験によれば, \bar{T}_M , T_c , T_0 等は水分の変化に關係なく, むしろ風速等へ影響を及ぼすことはないことがわかった。即ち紙片の形状を問題にしないければ, 水分の移り速度に対する影響は次式で表わされる。

$$V \sim \frac{\sqrt{\lambda_w k_s H}}{\rho_w \bar{\tau}_w} \quad (25)$$

$\bar{z} = z''$, H が水分によってどう変わるかを考えなければならぬ。簡単にすると, 燃焼速度は一般に酸素の濃度と可燃物の濃度との積に比例すると考えよ。図-11からわかるように, 燃焼表面に出るガスの温度は, 一度下って工具である。これから判断すると, 燃焼表面では固体燃焼を行なつてゐる。揮発性ガスは分解と同時に温度が低下し, 从ふ温度によって産出されたガスが着火し, ガスの可燃分が少なくなるまで燃焼を続けると考えられる。すなはち, 単位燃焼表面積の火炎に存在するガスの質量は, $\rho(1+w)$ と比例し, 酸素が仮設したとすれば, 酸素濃度は,

$$M(O_2) \sim \frac{1}{\rho^2 (1+w)^2} \quad (26)$$

次に, 挥発性可燃物は固体表面で何様に燃えかといふと, 可燃物の表面に付ける可燃物の濃度は,

$$M(c_M) \sim \frac{c'}{a + c' + c'' + w} \quad (27)$$

$\bar{z} = \nu$, c' : 残存可燃分, c'' : 挥発可燃分である。

又 ν , $\rho c'$ の可燃分が燃え, L が水分の蒸発熱とすると, $\rho w L$ の熱が吸収される。この $\bar{z} = \rho(1+w)$ の質量の物質の温度を工具と, この温度に比例して減らすと, 蒸熱量 H は次式で表される。

$$H \sim \frac{\rho(k_c c' E - wL)}{\rho^2 (1+w)^4 (a + c' + c'' + w)} \quad (28)$$

又 ν , $\rho_w \bar{\tau}_w = \rho(\bar{r} + w)$, $\lambda_w = \lambda(1 + k_\lambda w)$, $\bar{z} = \nu$, ν を入ると, 水分 w のときの紙片の比熱と熱伝導率, k_c , k_λ は常数である。したがつて, 乾燥紙片を基準とする,

$$\frac{V}{V_0} = \frac{1}{(\bar{r} + w)(1+w)^2} \sqrt{\frac{(k_c c' E - wL)(1+k_\lambda w)}{(a + c' + c'' + w)}} \times \frac{1}{\bar{r}} \sqrt{\frac{k_c c' E'}{a + c' + c''}} \quad (29)$$

$\bar{z} = \nu$, V_0 は水分 w の時の移り速度である。

W. D. Weatherford²⁴⁾ の測定結果を採用し、前述実験結果から得る $c' = 0.19 C$, $c'' = 0.81 C$, λ' と λ'' が分の存在が想定されると $C = 1$, $a = 0$ を用ひて、 $L = 600 \text{ cal/g}$ とすと、 $1 + k_n = 1 + w$ の近似的に成立する。

$$V \propto \frac{\sqrt{k_c c' E - 600 w}}{(1 + 2.4w)(1 + w)^2} \quad (30)$$

本式と k_c は、燃焼状態、 V とえば炉内であるか、外気中であるか等によつて定まる数値があり、外気中の場合の実験結果から $k_c = 0.14$, $\lambda' = 0.19$, $E = 8000 \text{ cal/g}$ とすと、式(30)を式(31)に書きおきたいとする。

$$V \propto \frac{\sqrt{1 - 4w}}{(1 + 2.4w)(1 + w)^2} \quad (31)$$

本式による計算結果を図-13A 中の曲線で示し、また図-8 にて示す実験結果を図-13B 点としてプロットすればおらず、これらはさわめてよく一致するといふことができる。なお水份が約2%以下になると、下方へ飛火するような現象がみられ、式(31)による結果よりも大きな火移り速度が生じる。また火移り速度が2%程度以下になると、図-10 に示すように、式(31)による結果よりも火移り速度が小さくなり、最終的には燃焼が継続しないよう。

4. もすび

“みづ”燃却の場合は、炉内での送風速度が変化され、またストーカの運動によつて火種以下の落らる等の現象が伴はうので、これらの影響に対する式(31)は修正されたものであるが、この式の分子の項は本質的には保存され思考されるべきである。実際の燃却炉内での火移り速度に対する式(31)の適用については、数値の関係で次報にゆずることとしむが、この式を多少修正すればよいので、実際の炉における火移り速度の観測値と合わせてよく一致する計算結果が得られる。

これまで述べたように、 “みづ”燃却とよぶ場合には、その中に含まれる個々の物体の影響が干渉しあつて同一性を失ふことがあると考えてよいから、図-8 は厳密それといふ “みづ”燃却の理論的研究も、その可能性の大いにあらニヒキカツ。しかし、今後はこれら種々の現象を理論的に考え、またモデル実験を行なうことをすり、 “みづ”燃却等に関する、実用的意義ある程度の誤差をもつてない関数関係を、もとと半かられていくこと信じてゐる。われわれは、工記以外の “みづ”は、三新の関数関係をまとめたのが “みづ”燃却である。これらを近く発表する予定である。

参考文献

- 1) R. Gerhardt and H. Ermak: Modelluntersuchung der optimalen Auslegung von Müllverbrennungsanlagen unter Stadt am Beispiel der Müllverbrennungsanlage Neustadt in Holstein, Aufbereitungs-Technik, 3, 1964, pp. 110
- 2) R. H. Essenhigh: Burning Rates in Incinerator (I), (II), Proc. of 1968 National Incinerator Conference, A. S. M. E., pp. 87, pp. 94

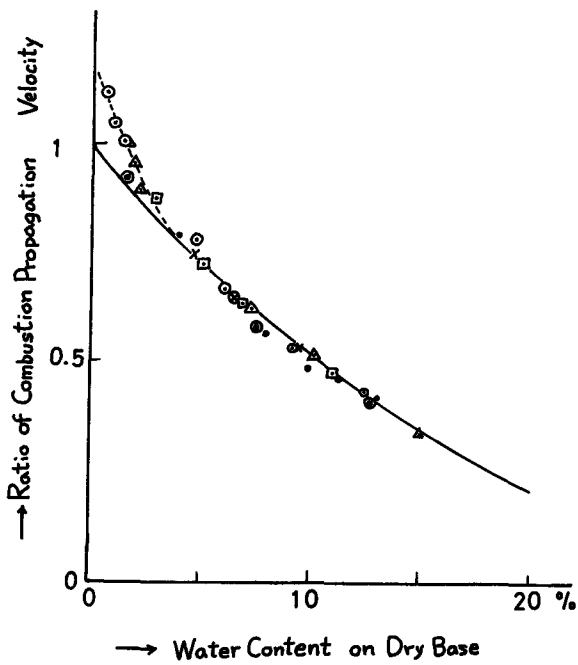


Fig. 13. Experimental Results and The Curve of Analytical Result. by Eq. (31)

- 3) 岩井重久, 春山鴻: “み焼却炉の火炎(1), 資源, 6, 1961, pp. 33
- 4) 岩井重久, 春山鴻: “みの燃焼過程における水分の影響, 工木学会第20回年次学術講演会講演概要, 1965, II, p. 131
- 5) 岩井重久, 春山鴻: 放射性固体廢棄物焼却炉の燃焼工学的考察, 京大工研彙報, 30, 1966, p. 35
- 6) 岩井重久, 春山鴻: “みの焼却に関する研究, 京大工研彙報, 28, 1965, p. 57
- 7) 岩井重久, 春山鴻, 高月絃, 和田彰: 焼却対象物と之の火炎の基礎的研究, 工木学会第22回年次学術講演会講演概要, 1967, II, pp. 171-1
- 8) 岩井重久, 春山鴻: “み焼却炉の最近の進歩, 資源, 6, 1965, pp. 40
- 9) 岩井重久, 春山鴻: “み集塊の同一性, 工木学会第21回年次学術講演会講演概要, 1966, II, p. 161
- 10) 岩井重久, 春山鴻: 機械化“み焼却炉の設計に関する研究, 昭和33年工木学会関西支部講演会概要集, II-17, pp. 112
- 11) 岩井重久, 春山鴻: “み焼却炉の火炎(2), 資源, 9, 1961, pp. 33

- 12) 岩井重久, 春山鴻, 高月絵, 和田彰: 以心界の焼却処理の燃焼工学的考察, 工木学会第23回年次学術講演会講演概要, 1968, II, p. 172-1
- 13) 岩井重久, 春山鴻, 高月絵, 長谷部義三: 二段式心界の焼却反応理論と浸出水の水質について, 同上概要, 1968, II, pp. 551
- 14) 岩井重久, 春山鴻, 高月絵: エルローディー類物質集塊火災の速度, 京大工研彙報, 32, 1967, p. 44
- 15) T. Kimbara, H. Endo and S. Sega: Downward Propagation of Smoldering combustion through Solid Materials, Proc. 11th Symposium (International) on Combustion, 1966, pp. 525
- 16) W. L. Fons, H. B. Clements and D. M. Gerge: Scale Effects on Propagation Rate of Laboratory Crib Fires, Proc. 9th Symposium (International) on Combustion, 1964, pp. 860
- 17) H. E. Anderson: Influence of Moisture and Wind upon the Characteristics of Free Burning Fire, Proc. 10th Symposium (International) on Combustion, 1965, pp. 1009
- 18) L. A. Albini: A Physical Model for Firespread in Brush, Proc. 11th Symposium (International) on Combustion, 1966, pp. 533
- 19) 高月絵: 京都大学修士論文, (工・化生工) 昭和42年
- 20) S. Martin: Diffusion-Controlled Ignition of Cellulosic Materials by Intense Radiant Energy, Proc. 10th Symposium (International) on Combustion, 1965, pp. 877
- 21) P. L. Blackshear, JR. and K. A. Murty: Heat and Mass Transfer to, from, and within Cellulosic Solid Burning in Air, Proc. 10th Symposium (International) on Combustion, 1965, pp. 911
- 22) University of California: Municipal Incineration, Sanitary Engineering Research Project, No. 6, Nov., 1951
- 23) W. D. Weatherford, Jr. and D. M. Shepherd: Basic Studies of The Mechanism of Ignition of Cellulosic Materials, Proc. 10th Symposium (International) on Combustion, 1965, pp. 897